

11. А. В. Каширский, Л. П. Орленко, В. Н. Охитин. ПМТФ, 1973, 2.
 12. В. Н. Охитин. Тр. МВТУ, № 358. М., 1981.
 13. А. В. Каширский, Ю. В. Коровин, Л. А. Чудов.— В кн.: Вычислительные методы и программирование. Вып. 19. М.: Изд-во МГУ, 1971.

ВЗАИМОДЕЙСТВИЕ ДЕТОНАЦИОННЫХ И УДАРНЫХ ВОЛН НА ГРАНИЦЕ РАЗДЕЛА ДЕТОНИРУЮЩЕГО ГАЗА С НЕЙТРАЛЬНЫМ

В. М. Гендулов, А. С. Зиновьев
(Москва)

В работе исследуются регулярные волновые конфигурации, образующиеся при выходе из детонирующего газа в нейтральный косого скачка уплотнения, когда детонация возникает в отраженной или падающей волне. Выход ударной волны из одной нейтральной среды в другую рассмотрен в работах [1—5], а волновые конфигурации вблизи границы раздела детонирующих сред — в [6—9]. Известно, что в подобных задачах обнаружена неоднозначность решения, обусловленная, с одной стороны, возможностью существования волновых конфигураций с отраженной ударной волной и с отраженной волной разрежения. С другой стороны, в рамках каждой волновой конфигурации возможна также двузначность решения, соответствующая сильной и слабой отраженной волне. До сих пор нет строгого математического критерия отбора решения, отвечающего действительности. В [4, 6] утверждается, например, что на практике реализуются течения с минимальной интенсивностью преломленной волны, в то время как в [10] приводится эксперимент, отвечающий преломлению более сильной ударной волны. В данной работе изучаются все возможные волновые конфигурации и решения, допускаемые исходной системой уравнений.

1. Пусть плоская ударная волна OS , за которой давление p_1 меньше порога инициирования p_i , падает под углом α из детонирующего газа на границу раздела с нейтральным (рис. 1). В зависимости от свойств сред и параметров волны OS отраженная в детонирующий газ волна может быть как волной разрежения, так и ударной. Во втором случае, если давление за отраженной волной превышает порог инициирования, возникает детонация. При этом волновая конфигурация течения в окрестности точки O включает в себя волну OS , проходящую ударную волну ON , детонационную волну Чепмена — Жуге OR , волну разрежения и контактную поверхность OK .

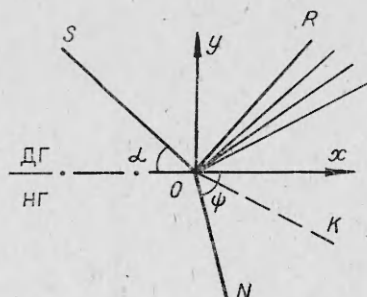


Рис. 1. Волновая конфигурация при выходе ударной волны из детонирующего газа (ДГ) в нейтральный (НГ).

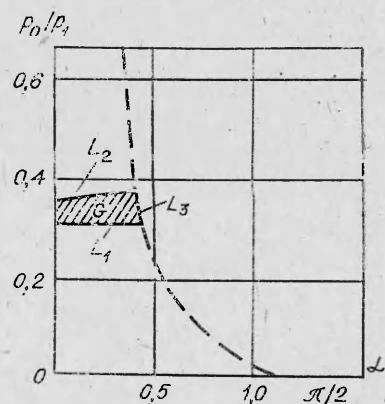


Рис. 2. Область существования волнового комплекса с отраженной детонационной волной Чепмена — Жуге.

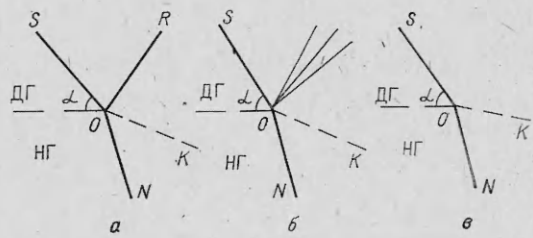


Рис. 3. Волновые конфигурации при выходе детонационной волны из детонирующего газа в нейтральный газ: а) с отраженной ударной волной; б) с отраженной волной разрежения; в) без отраженной волны.

В предположении, что газы и продукты детонации калорически совершенны, записываются обычные уравнения сохранения на косых скачках уплотнения [11], уравнения в волне Прандтля — Майера, условия на контактной поверхности и регулярности. Полученная система содержит два независимых параметра, в качестве которых выбирают угол α и интенсивность p_0/p_1 (p_0 — начальное давление). Область существования данного течения (G) (рис. 2) ограничена прямой L_1 и линией L_2 . Последняя определяется в процессе решения задачи из условия, что отраженная волна является ударной и давление за ней равно p_1 . Точки пересечения L_1 и L_2 с осью $\alpha = 0$ соответствуют скольжению OS вдоль границы раздела сред. Линия L_3 , ограничивающая область G справа, отвечает предельному положению OR , когда поток за OS нормален к OR .

2. Пусть детонационная волна Чепмена — Жуге выходит в нейтральный газ. В плоскости $\alpha, p_0/p_1$ (см. рис. 2) режимы течения, соответствующие данному случаю, находятся в области под прямой L_1 . Волновые конфигурации, которые могут возникнуть при этом, приведены на рис. 3. (Здесь OS — детонационная волна; ON — преломленная ударная волна.) Система уравнений, описывающая течение с волновой конфигурацией a, b — однопараметрическая, c — нуль-параметрическая.

В плоскости α, ψ (ψ — угол преломления волны ON) данные режимы течения изображены линиями L_1, L_2 и точкой P (рис. 4). Волновая структура c — частный случай двух первых, когда интенсивность отраженной волны обращается в нуль. Так как сколь угодно малые возмущения параметров падающей волны приводят к распаду конфигурации c , то этот режим неустойчив. То же самое можно утверждать и о волновых структурах a и b , если изменение параметров происходит не вдоль линий их существования. Точка O линии L_1 соответствует нормальному падению детонационной волны на границу раздела сред.

3. Волновые конфигурации, возникающие при выходе пересжатой детонационной волны в нейтральный газ, имеют тот же вид, что и на рис. 3. Однако при этом система уравнений, описывающая течения a, b , двухпараметрическая, а c — однопараметрическая. Области реализации данных волновых конфигураций в плоскости α, ψ обозначены соответственно через G_1, G_2, L_2 . Область G_1 ограничена линиями L, L_2, L_4, L_6 . Линия L отвечает падающей детонационной волне Чепмена — Жуге, L_4 — пересжатой

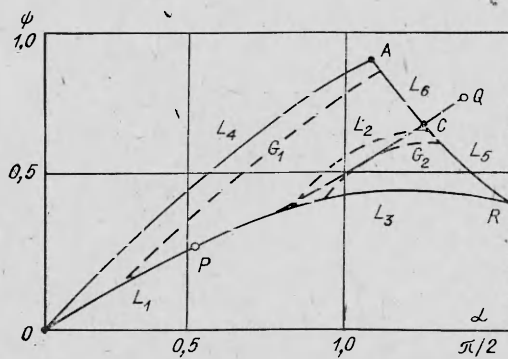


Рис. 4. Область существования волновой конфигурации с падающей детонационной волной.

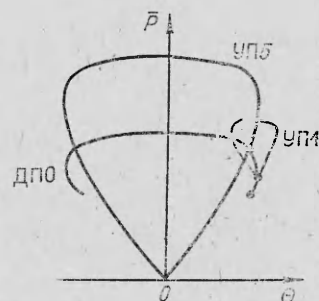


Рис. 5. Детонационная ДПО и ударная УП5 поляры.

детонационной волне бесконечно большой интенсивности, L_2 — конфигурации волны σ . Линия L_6 определяется из условия касания ударных полляр (рис. 5), описывающих состояние за отраженной ударной волной (УП1) и проходящей в нейтральный газ ударной волной (УП5). Область G_2 ограничена линиями L_2 , L_3 , L_5 . Линия L_5 отвечает потоку за пересекающей детонационной волной, число Маха которого $M = 1$. Часть линии $L_2(CQ)$, соответствующая волновой конфигурации σ , отвечает течению за пересекающей детонационной волной, $M < 1$. Изменение волновых конфигураций при условии постоянства числа Маха набегающего потока (M_0) прослеживается вдоль штриховых кривых на рис. 4. Как видно, при $M_0 = \text{const}$ возможен переход от волновой конфигурации с отраженной волной разрежения к такой же конфигурации через волновую структуру с отраженной ударной волной.

В заключение отметим, что области реализации волновых конфигураций деформируются в зависимости от физико-химических свойств сред и начальных условий задачи. Однако в широком диапазоне изменения соотношения плотности детонирующего и нейтрального газов и различных показателей их адиабат качественная картина такая же, как и у приведенных для иллюстрации сред с $\rho_0/\rho_1 = 0,5$, $\gamma_0 = \gamma_1$.

Поступила в редакцию 8/II 1984

ЛИТЕРАТУРА

1. R. A. Strehlow. 14-th Symp. (Intern.) on Combustion, 1973.
2. Г. Курант, К. Фридрихс. Сверхзвуковые течения и ударные волны. М.: ИЛ, 1950.
3. Х. Иолачек, Р. И. Зигер.— В кн.: Основы газовой динамики/Под ред. Г. Эммонса. М.: ИЛ, 1963.
4. Л. Ф. Гендерсон. Механика, № 5. М.: ИЛ, 1968.
5. R. J. Stoner, M. H. Hauberman. Phys. Rev., 1949, 76, 882.
6. S. Paterson. Proc. Phys. Soc., 1948, 61, 344, 119.
7. E. Larisch. J. Chem. Mech., 1959, 6, 3.
8. Л. Г. Гвоздева, О. А. Предводителева. ФГВ, 1969, 5, 4.
9. К. П. Станюкович. Неуставнившиеся движения сплошной среды. М.: Наука, 1971.
10. К. Гудерлей. Теория околозвуковых течений. М.: ИЛ, 1960.
11. К. И. Щелкин, Я. К. Трошин. Газодинамика горения. М.: Изд-во АН СССР, 1963.

ИССЛЕДОВАНИЕ ДВИЖЕНИЯ ПРОДУКТОВ ВЗРЫВА ЗА ФРОНТОМ ДЕТОНАЦИОННОЙ ВОЛНЫ

В. В. Дорохин, В. Н. Зубарев, Ю. К. Орекин,
Н. В. Панов, Н. Л. Шаболдина

(Москва)

При изучении высокоскоростных режимов детонации конденсированных ВВ в явном или неявном виде используется несколько моделей плоских детонационных волн (ДВ). Если не делается каких-либо предположений относительно их структуры, то в соответствии с уравнениями состояния ВВ, продуктов взрыва (ПВ) и кинетикой химического разложения реализуется нестационарный профиль ДВ, в котором звуковая плоскость (плоскость Чепмена — Жуге) не обязательно находится на постоянном расстоянии от ударного скачка. Эта схема преимущественно используется при численном моделировании ДВ [1].

В модели с конечным временем химического превращения ВВ (τ_x) накладываются ограничения на структуру ДВ, профиль которой представляется как совокупность стационарной химической зоны и последующей автомодельной волны разрежения, разделенных звуковой плоскостью [2]. Наиболее простая и широко используемая схема принципиально не отличается от второй модели. В ней принимается $\tau_x = 0$.

Последние модели просты, наглядны и удобны для интерпретации исходных экспериментальных данных. Однако, как показала практика по-